

回帰係数に関する同時信頼区間について*

塩 谷 実
川 上 尚 子

(1962年8月受付)

Simultaneous Confidence Interval Estimation on Regression Coefficients

Minoru SIOTANI and Hisako KAWAKAMI

Summary : Simultaneous interval estimation for the given set of linear forms of the regression coefficients in the normal regression analysis is discussed in this paper. This is immediately reduced to one of the problems of multiple comparisons among means of a multivariate normal distribution. The problem has been treated by many authors, especially, by Dunn (1958, [1]; 1961, [2]), Hartley (1950, [4], Scheffé (1953, [8]) and Tukey (1952, [11]).

First, an outline of the results already known is given explanatory but in a unifying form. After this explanation, the method for obtaining the shorter confidence intervals for the preassigned set of the regression coefficients (with a predetermined simultaneous confidence coefficient) is shown. This is the one which makes Dunn's recent work [2] more precise. Finally illustrative examples are given with some comparisons among various methods.

The Institute of Statistical Mathematics

§ 1. 今迄に知られている回帰係数に関する区間推定**

問題を明らかにするため、今迄に知られている方法をざっと見てゆく。但し説明はできるだけ統一的な形で行なわれるよう心掛けられる。

確率変数 y が、平均

$$E(y) = a_1 z_1 + a_2 z_2 + \cdots + a_k z_k \quad (1)$$

分散

$$\text{Var}(y) = \sigma^2 \quad (2)$$

の正規分布に従う時、 N 個の観測

$$O_N : y_\alpha \mid z_{1\alpha}, z_{2\alpha}, \dots, z_{k\alpha}, \alpha = 1, 2, \dots, N$$

に基いて回帰係数 a_1, \dots, a_k を推定する場合を考える。以下記述を簡明にするため、ベクトル、行列表示を用いよう。

$$\underline{y} = \begin{pmatrix} y_1 \\ y_2 \\ \vdots \\ y_N \end{pmatrix} \quad \underline{a} = \begin{pmatrix} a_1 \\ a_2 \\ \vdots \\ a_k \end{pmatrix} \quad Z = \begin{pmatrix} z_{11} & z_{12} & \cdots & z_{1N} \\ z_{21} & z_{22} & \cdots & z_{2N} \\ \vdots & \vdots & \ddots & \vdots \\ z_{k1} & z_{k2} & \cdots & z_{kN} \end{pmatrix}$$

* これは昭和 36 年度文部省科学研究費による研究の一部である。

** multiple comparisons に関する説明が、吾が国では、充分に行われているとは筆者達には思われないので、ここでは説明的な記述をおこなう。

転置行列、横ベクトルはプライムを附して表わし、逆行列は A^{-1} の如く書く。 $Z: k \times N$ は確定変数の行列で、計画行列と呼ばれることもあり、われわれには既知である。今 Z のランク（階数）を k とすれば、

$$\hat{a} = (ZZ')^{-1}Zy \quad (3)$$

は a の最尤推定値で、最良不偏線型推定値を与えることはよく知られている。更に \hat{a} の分布は、平均 a 、分散共分散行列 $\sigma^2(ZZ')^{-1}$ をもつ k 変数正規分布であり、かつ、 σ^2 の不偏推定値

$$\begin{aligned} s^2 &= \frac{1}{N-k} (\underline{y} - Z\hat{a})'(\underline{y} - Z\hat{a}) \\ &= \frac{1}{N-k} (\underline{y}'\underline{y} - \hat{a}'ZZ'\hat{a}) \end{aligned} \quad (4)$$

とは統計的に独立である。また $(N-k)s^2/\sigma^2$ は、自由度 $N-k$ の χ^2 -分布に従っている。（以上の結果は例えば、[12] の第8章、第2節をみよ。）

以上の結果を利用して、次のような a_1, a_2, \dots, a_k に対する信頼区間が求められている。

(I) 任意の a_i に対する信頼区間：

$$ZZ' \equiv C \quad (5)$$

と表わし、 C^{-1} の (i, j) 要素を c^{ij} とすると

$$t = \frac{\hat{a}_i - a_i}{\sigma \sqrt{c^{ii}}} / \frac{s}{\sigma} = \frac{\hat{a}_i - a_i}{s \sqrt{c^{ii}}}$$

が自由度 $n \equiv N-k$ の Student の t -分布に従うことより、信頼係数 $1-\gamma$ の信頼区間 ($0 < \gamma < 1$)

$$\hat{a}_i - t_n(\gamma) s \sqrt{c^{ii}} \leq a_i \leq \hat{a}_i + t_n(\gamma) s \sqrt{c^{ii}} \quad (6)$$

を得る。 $t_n(\gamma)$ は自由度 n の t -表にある $100\gamma\%$ 点である。

実際のデータ解析において、各 a_i を、個別に (6) のように区間推定することが屢々行なわれるが問題としては a_1, a_2, \dots, a_k が同時に推定されるのであり、(6) のような区間を k 個つくっても全体として考えた場合、信頼係数がいくらかはっきりしない。 $\hat{a}_1, \hat{a}_2, \dots, \hat{a}_k$ が必ずしも独立ではないからである。

次に a_1, \dots, a_k の同時の区間推定を考えよう。

(II) a_1, a_2, \dots, a_k 全部に対する信頼領域：これには、 \hat{a} の分布が、平均 a 、分散・共分散行列 $\sigma^2 C^{-1}$ の k 変数正規分布であり、従って、

$$(\hat{a} - a)'(\sigma^2 C^{-1})^{-1}(\hat{a} - a) = \frac{1}{\sigma^2} (\hat{a} - a)'C(\hat{a} - a)$$

が自由度 k の χ^2 -分布に従い、更に、

$$F = \frac{\frac{1}{\sigma^2} (\hat{a} - a)'C(\hat{a} - a)/k}{s^2/\sigma^2} = \frac{(\hat{a} - a)'C(\hat{a} - a)}{ks^2} \quad (7)$$

が自由度 (k, n) の F -分布に従うことを利用すればよい。与えられた γ ($0 < \gamma < 1$) に対して

$$P_{\gamma}\{F > F_{k,n}(\gamma)\} = \gamma$$

なる $F_{k,n}(\gamma)$ を F -表から求めれば、

$$(\hat{a} - a)'C(\hat{a} - a) \leq ks^2 F_{k,n}(\gamma) \quad (8)$$

が、信頼係数 $1-\gamma$ の a_1, a_2, \dots, a_k 全部に対する信頼領域を与える。しかし、(8) の内容を更に立ち入って調べてみれば、これはこれまで実際にそぐわない点をもっている。公式

$$(\hat{a} - a)'C(\hat{a} - a) = \operatorname{Sup}_{\underline{d}} \{ \underline{d}'(\hat{a} - a)(\hat{a} - a)' \underline{d} / \underline{d}'C^{-1}\underline{d} \} \quad (9)$$

に注意すれば、(8) は、すべての \underline{d} でない \underline{d} に対する

$$\frac{\underline{d}'(\hat{a} - a)(\hat{a} - a)' \underline{d}}{\underline{d}'C^{-1}\underline{d}} \leq ks^2 F_{k,n}(\gamma)$$

即ち， 0 でないすべての \underline{d} に対する区間群

$$\underline{d}'\hat{\alpha} - s\sqrt{kF_{k,n}(\gamma)}\sqrt{\underline{d}'C^{-1}\underline{d}} \leq \underline{d}'\alpha \leq \underline{d}'\hat{\alpha} + s\sqrt{kF_{k,n}(\gamma)}\sqrt{\underline{d}'C^{-1}\underline{d}} \quad (10)$$

と全く同等であり，従って，これらが全部成立する確率は $1-\gamma$ に等しい。 (10) は Scheffé [8] の与えた結果で， α の成分のすべての一次式に対する同時信頼区間である。しかし現実の問題としては，それぞれの場に適合した特定の $\underline{d}'\alpha$ の組（特定の \underline{d} の値に対する組）だけを対象とした同時信頼区間が要求されることが屢々である。この場合， (10) を使用してゆくと，信頼係数は $\geq 1-\gamma$ と安全側になるが， (10) が，今の問題に対しては意味をもたないものまで全部含めた区間であることからわかる如く，区間の巾が広がり過ぎ，推定の意味がなくなってしまう恐れが充分考えられる。

(Ⅲ) $\underline{d}'\alpha$ の特定の組に対する同時信頼区間の例：これは $C^{-1} = (1-\rho)I + \rho\underline{1}\underline{1}'$ と特別の形をもつときのもので，すべての i, j に対する

$$a_i - a_j \quad (i < j)$$

の同時信頼区間で，Hartley [4]，Tukey [11] の結果である。回帰係数に対するものとしてではなく，分散分析における平均値の多重比較に関連して与えられたものである。記号 I は単位行列， $\underline{1}$ は成分が全部 1 のベクトル， $\rho > -1/(k-1)$ である。結果は

$$\hat{a}_i - \hat{a}_j - s\sqrt{1-\rho} w_n(\gamma; k) \leq a_i - a_j \leq \hat{a}_i - \hat{a}_j + s\sqrt{1-\rho} w_n(\gamma; k) \quad (11)$$

で， i, j の $1/2 k(k-1)$ 個の組に対して， (11) が全部成り立つ時の信頼係数が $1-\gamma$ である。

ここに， $w_n(\gamma; k)$ は， $\hat{a}_i - a_i$, $i=1, 2, \dots, k$ の studentized range $w_n(k) = \max_{i < j} \{|\hat{a}_i - \hat{a}_j - a_i + a_j| / s\sqrt{1-\rho}\}$ の $100\gamma\%$ 点である。

(Ⅳ) Dunn の同時信頼区間： $\hat{\alpha}$ の分布が，平均 α ，分散・共分散行列 $\sigma^2 C^{-1}$ をもつ k 変数正規分布であることは既にみた。O. J. Dunn [1] は，一つの多変数正規分布の平均ベクトルの各成分につき，分散・共分散行列に条件を附した後，同時信頼区間のいくつかの型を論じているが， \hat{a}_i についても勿論通じるものである。更に，彼女は最近 [2]，この論文で取り扱う問題に密接に関係のある議論を行なっている。これについては，次節のいろいろの議論の中でふれてゆく。

§ 2. 有限個の a_i の一次函数に関する同時信頼区間

同時信頼区間が要求されている a_1, a_2, \dots, a_k の一次函数の組を

$$\theta_i \equiv \underline{p}_i' \underline{\alpha} = p_{i1}a_1 + p_{i2}a_2 + \dots + p_{ik}a_k \quad (i=1, 2, \dots, m) \quad (12)$$

とする。 \underline{p}_i はあらかじめ与えられた定数ベクトルである。

2.1 区間設定の筋道

$$\hat{\theta}_i \equiv \underline{p}_i' \hat{\alpha} = p_{i1}\hat{a}_1 + p_{i2}\hat{a}_2 + \dots + p_{ik}\hat{a}_k \quad (i=1, 2, \dots, m), \quad (13)$$

を考える。これらは

$$E(\hat{\theta}_i) = \theta_i, \quad \text{Var}(\hat{\theta}_i) = \sigma^2 \underline{p}_i' C^{-1} \underline{p}_i \quad (i=1, 2, \dots, m), \quad (14)$$

をもつ m 個の正規変数である。故に σ^2 の不偏推定値 s^2 ((4)) を用いて，自由度 $n \equiv N-k$ の t -分布に従う m 個の変数

$$t_i = \frac{\hat{\theta}_i - \theta_i}{s\sqrt{\underline{p}_i' C^{-1} \underline{p}_i}} = \frac{\underline{p}_i' (\hat{\alpha} - \alpha)}{s\sqrt{\underline{p}_i' C^{-1} \underline{p}_i}}, \quad (i=1, 2, \dots, m) \quad (15)$$

を得る。さて，任意の $i(i=1, 2, \dots, m)$ に対して

$$|t_i| = \left| \frac{\hat{\theta}_i - \theta_i}{s\sqrt{\underline{p}_i' C^{-1} \underline{p}_i}} \right| \leq g, \quad (g > 0)$$

または，これと同等である

$$t_i^2 = \frac{(\hat{\theta}_i - \theta_i)^2}{s^2 \underline{p}_i' C^{-1} \underline{p}_i} = \frac{\underline{p}_i' (\hat{a} - a) (\hat{a} - a)' \underline{p}_i}{s^2 \underline{p}_i' C^{-1} \underline{p}_i} \leq g^2 \quad (16)$$

を考える。すべての i について、(16) を考えた時、 $(\hat{a}, a, s^2, C$ 及び g をとめて考える)

$$\text{all } t_i^2 \leq g^2 \Leftrightarrow \max_i \{t_i^2\} \leq g^2 \quad (17)$$

である。故に与えられた γ に対して

$$t_{\max}^2 \equiv \max_i \{t_i^2\} \quad (18)$$

の分布の上方 $100\gamma\%$ 点、即ち、

$$P_r\{t_{\max}^2 > t_{\max}^2(\gamma; n, m)\} = \gamma \quad (19)$$

なる $t_{\max}^2(\gamma; n, m)$ を、(16) の g^2 として用いれば、

$$\begin{aligned} 1 - \gamma &= P_r\{t_{\max}^2 \leq (t_{\max}^2(\gamma; n, m))\} \\ &= P_r\{\text{all } t_i^2 \leq t_{\max}^2(\gamma; n, m)\} \\ &= P_r\{\text{all } |t_i| \leq t_{\max}(\gamma; n, m)\} \\ &= P_r\{\text{all } \left| \frac{\underline{p}_i' (\hat{a} - a)}{s \sqrt{\underline{p}_i' C^{-1} \underline{p}_i}} \right| \leq t_{\max}(\gamma; n, m)\} \\ &= P_r\{\underline{p}_i' \hat{a} - s t_{\max}(\gamma; n, m) \sqrt{\underline{p}_i' C^{-1} \underline{p}_i} \\ &\leq \underline{p}_i' a \leq \underline{p}_i' \hat{a} + s t_{\max}(\gamma; n, m) \sqrt{\underline{p}_i' C^{-1} \underline{p}_i} : \text{for all } i\} \end{aligned} \quad (20)$$

が得られる。(20) の m 個の区間が、同時信頼係数 $1 - \gamma$ をもつ求める同時信頼区間である。各区間の巾は、

$$s t_{\max}(\gamma; n, m) \sqrt{\underline{p}_i' C^{-1} \underline{p}_i} \quad (21)$$

の 2 倍である。

以上の区間設定の原理は、Roy-Bose [7] の union-intersection principle で、先ず各 i について出来るだけよい性質をもつ信頼区間をつくり、これを充す標本空間の集合の intersection をとり、その確率が与えられた $1 - \gamma$ になるようにきめてゆくのである。われわれの $|t_i| \leq g$ により導かれる $\underline{p}_i' a$ に対する区間は、Lehmann [5] の意味で、most accurate unbiased confidence interval であることを注意しておく。

2.2 $t_{\max}(\gamma; n, m)$ の評価

$\theta_i = \underline{p}_i' a$, $i = 1, 2, \dots, m$ に対する、同時信頼係数が $1 - \gamma$ なる同時信頼区間は

$$\hat{\theta}_i - L_i \leq \theta_i \leq \hat{\theta}_i + L_i \quad (22)$$

$$L_i = s t_{\max}(\gamma; n, m) \sqrt{\underline{p}_i' C^{-1} \underline{p}_i} \quad (23)$$

と書かれたのであるが、 $t_{\max}(\gamma; n, m)$ が評価できなければ実用にならない。(12) の一次式が一次独立ならば、 $t_{\max}(\gamma; n, m)$ は、 m 個の t_i の同時分布の密度函数を $f_n(t_1, \dots, t_m)$ として

$$\int_{-c}^c \cdots \int_{-c}^c f_n(t_1, \dots, t_m) dt_1 dt_2 \cdots dt_m = 1 - \gamma \quad (24)$$

を充す c の値となるが、 m の値が 3 を越すと評価が極めて困難である。

われわれは、あらかじめ与えられた m に対して $t_{\max}(\gamma; n, m)$ を評価しなければならない。しかし、 t_{\max}^2 の正確な分布を知ることは、 t_i^2 が互に独立でないことからわかる如く、一般に困難である。そこで当面の問題である $t_{\max}(\gamma; n, m)$ の評価には、 t_{\max}^2 の分布の右すその部分だけに着目し、この確率を評価することによって行なうことを考える。この方針の下に、確率論における基本公式

$$\begin{aligned} P_r\{t_{\max}^2 > c^2\} &= \sum_{i=1}^m P_r\{t_i^2 > c^2\} - \sum_{i < j} P_r\{t_i^2 > c^2, t_j^2 > c^2\} \\ &\quad + \sum_{i < j < k} P_r\{t_i^2 > c^2, t_j^2 > c^2, t_k^2 > c^2\} - \dots \end{aligned} \quad (25)$$

を適用する。 $1-\gamma$ が大きく、従って、 γ が小さい時は $t_{\max}^2(\gamma; n, m)$ は分布の右すその方の値となる。故に、(25) の左辺は、右辺の最初の一、二項によって、実用のためには充分な精度で近似されるので、これを利用するのである。

(25) の右辺を評価するためには、 t_i^2 あるいは、 t_i の 2 個、3 個、…の組の同時分布が必要である。しかし、同時信頼区間を与えるべき m 個の一次式 $\theta_i = \underline{p}_i' \underline{a}$, $i = 1, 2, \dots, m$ は、必ずしも一次独立ではない。すなわち、 \underline{p}_i を列にもつ $k \times m$ の行列 $\{\underline{p}_1, \underline{p}_2, \dots, \underline{p}_m\}$ の階数は $\leq \min(k, m)$ である。故に t_i 's の同時分布といっても、その中の一次独立なものとの同時分布であり、これにより確率が評価されるのである。例えば

$$\theta_1 = a_1 - a_2, \theta_2 = a_2 - a_3, \theta_3 = a_1 - a_3$$

の時は

$$\begin{aligned} t_1 &= (\hat{\theta}_1 - \theta_1) / s\sqrt{C^{11} - 2C^{12} + C^{22}}, & t_2 &= (\hat{\theta}_2 - \theta_2) / s\sqrt{C^{22} - 2C^{23} + C^{33}}, \\ t_3 &= (\hat{\theta}_3 - \theta_3) / s\sqrt{C^{11} - 2C^{13} + C^{33}} \end{aligned}$$

で

$$t_3 = (t_1\sqrt{C^{11} - 2C^{12} + C^{22}} + t_2\sqrt{C^{22} - 2C^{23} + C^{33}}) / \sqrt{C^{11} - 2C^{13} + C^{33}}$$

であるから、 $P_r\{t_1^2 > c^2, t_2^2 > c^2, t_3^2 > c^2\}$ は t_1 と t_2 の同時分布から評価される。

今 t_1, t_2, \dots, t_ν を一次独立な ν 個の組とし、これの同時分布を考える。 $\hat{\theta}_1, \hat{\theta}_2, \dots, \hat{\theta}_\nu$ が ν 変数正規分布をもつことに注意すれば、求める分布は、所謂、 ν 変数 t -分布 (Dunnet-Sobel [3]) で、その密度函数は

$$f_n(t_1, t_2, \dots, t_\nu) = \frac{\Gamma\left[\frac{1}{2}(n+\nu)\right]}{|P|^{\frac{1}{2}(n\pi)^{\frac{1}{2}\nu}} \Gamma\left(\frac{1}{2}n\right)} \left[1 + \frac{1}{n} \sum_{i,j=1}^\nu \rho_{ij} t_i t_j\right]^{-\frac{1}{2}(n+\nu)} \quad (26)$$

である。ここに

$$\rho_{ij} = \frac{\underline{p}_i' C^{-1} \underline{p}_j}{\sqrt{\underline{p}_i' C^{-1} \underline{p}_i} \sqrt{\underline{p}_j' C^{-1} \underline{p}_j}} \quad i, j = 1, 2, \dots, \nu \quad (27)$$

$$P = (\rho_{ij}), \quad P^{-1} = (\rho_{ij})^{-1} = (\rho^{ij}) \quad (28)$$

である。

$$\begin{aligned} P_r\{t_i^2 > c^2\} &= P_r\{t_i > c\} + P_r\{t_i < -c\} = 2P_r\{t_i > c\} \\ &= 2 \int_c^\infty S_n(t) dt \end{aligned} \quad (29)$$

ここに、 $S_n(t)$ は自由度 n の Student の t -分布の密度函数である。

$$\begin{aligned} P_r\{t_i^2 > c^2, t_j^2 > c^2\} &= P_r\{t_i > c, t_j > c\} + P_r\{t_i > c, t_j < -c\} \\ &\quad + P_r\{t_i < -c, t_j > c\} + P_r\{t_i < -c, t_j < -c\} \\ &= 2 \cdot P_r\{t_i > c, t_j > c\} + 2 \cdot P_r\{t_i > c, t_j < -c\} \\ &= 2 \left[\int_c^\infty \int_c^\infty + \int_c^\infty \int_{-\infty}^{-c} \right] f_n(t_i, t_j) dt_i dt_j \end{aligned} \quad (30)$$

但し、(26) より

$$f_n(t_i, t_j) = \frac{1}{2\pi\sqrt{1-\rho_{ij}^2}} \left[1 + \frac{t_i^2 - 2\rho_{ij}t_i t_j + t_j^2}{n(1-\rho_{ij}^2)} \right]^{-\frac{1}{2}(n+2)} \quad (31)$$

であるが、一般に ρ_{ij} は一定でなく、このため $\sum_{i < j} P_r\{t_i^2 > c^2, t_j^2 > c^2\}$ の評価をわずらわしいもの

とする。 t_i が 3 つ以上の場合も同様にやればよいが、わずらわしさは更に大きくなろう。

さて $t^2_{\max}(\gamma; n, m)$ を実際に評価する手順を示そう。

[手順 1] 第 1 近似を求めること。 $P_r\{t^2_{\max} > c^2\}$ を (25) の右辺第 1 項だけで近似して

$$m \cdot P_r\{t_i^2 > c^2\} = \gamma$$

即ち

$$\int_c^\infty S_n(t) dt = \gamma / (2m) \quad (32)$$

を充す c^2 を $t^2_{\max}(\gamma; n, m)$ の第 1 近似と名付け $c_1^2(\gamma; n, m) \equiv c_1^2(\gamma)$ で表わす。

Dunn の Bonferroni の不等式にもとづく結果は、この第 1 近似によるもので

$$\begin{aligned} P_r\{-c_1(\gamma) \leq t_i \leq c_1(\gamma), i=1, 2, \dots, m\} \\ = P_r\{t^2_{\max} \leq c_1^2(\gamma)\} \\ \geq 1 - m \cdot P_r\{t_i^2 > c_1^2(\gamma)\} \\ = 1 - \gamma \end{aligned} \quad (33)$$

である。([1] の § 6.2; [2] の § 2) これは (25) の右辺で、第 2 項以下を考慮する時に生ずる計算のわずらわしさを避けるものであるが、信頼区間の区間中の点における損失も当然覚悟しなければならない。Dunn が行なっている、Scheffé の区間との比較で示される如く ([2] の第 3 表)， k の小さい時， m が大きい時特にひどくなる。われわれは第 1 近似を用いた時の誤差評価に進もう。

[手順 2] 第 1 近似の誤差を評価すること。このためには、Bonferroni の不等式

$$\sum_{i=1}^m P_r\{t_i^2 > c^2\} - \sum_{i < j}^m P_r\{t_i^2 > c^2, t_j^2 > c^2\} \leq P_r\{t^2_{\max} > c^2\} \leq \sum_{i=1}^m P_r\{t_i^2 > c^2\} \quad (34)$$

を利用する。 $c^2 = c_1^2(\gamma)$ において

$$-\sum_{i < j}^m P_r\{t_i^2 > c_1^2(\gamma), t_j^2 > c_1^2(\gamma)\} \leq P_r\{t^2_{\max} > c_1^2(\gamma)\} - \gamma \leq 0 \quad (35)$$

となるので、

$$\delta(\gamma, m) \equiv \sum_{i < j}^m P_r\{t_j^2 > c_1^2(\gamma), t_j^2 > c_1^2(\gamma)\} \quad (36)$$

を評価すればよいことになる。これが無視できる程小さいならば

$$t^2_{\max}(\gamma; n, m) \approx c_1^2(\gamma; n, m)$$

とするのである。もし無視できなければ、(29) の第 2 項まで考慮しなければならない。

[手順 3] 第 2 近似を求めること。

普通のやり方では

$$\sum_{i=1}^m P_r\{t_i^2 > c^2\} - \sum_{i < j}^m P_r\{t_i^2 > c^2, t_j^2 > c^2\} = \gamma \quad (37)$$

を充す c^2 を求めるのであるが、 $-c_2^2(\gamma)$ と書く一、これは $t^2_{\max}(\gamma; n, m)$ の underestimate を与えること、 $c_1^2(\gamma)$ に対して計算された $\delta(\gamma, m)$ を利用すると、分布の右すその部分で第 1 図に示すような事情があることを考慮して次の方法を採用する。すなわち

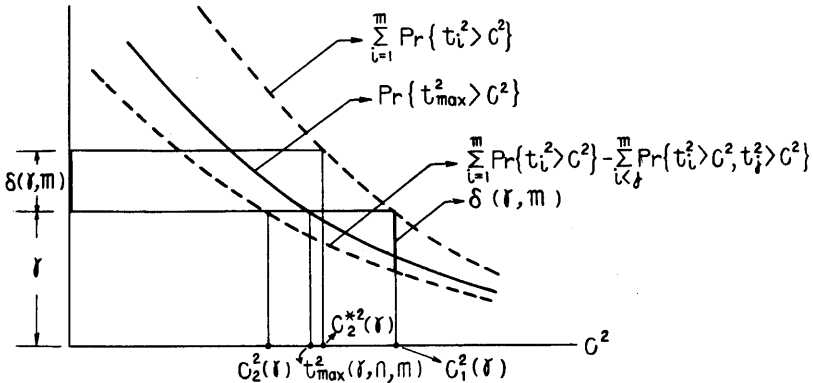
$$m \cdot P_r\{t_1^2 > c_2^{*2}(\gamma)\} = 2m \int_{c_2^*(\gamma)}^\infty S_n(t) dt = \gamma + \delta(\gamma, m) \quad (38)$$

を充す $c_2^{*2}(\gamma)$ を第 2 近似として用いる。

$$c_2^2(\gamma) \leq c_2^{*2}(\gamma) \leq c_1^2(\gamma) \quad (39)$$

は容易に分る。実際 $c_1^2(\gamma) \geq c_2^2(\gamma)$ より

$$\sum_{i < j}^m P_r\{t_i^2 > c_2^2(\gamma), t_j^2 > c_2^2(\gamma)\} \geq \sum_{i < j}^m P_r\{t_i^2 > c_1^2(\gamma), t_j^2 > c_1^2(\gamma)\} = \delta(\gamma, m).$$



第 1 図

両辺に γ を加えて $m \cdot Pr\{t_1^2 > c_2^2(\gamma)\} \geq m \cdot Pr\{t_1^2 > c_2^{*2}(\gamma)\}$. 故に $c_2^2(\gamma) \leq c_2^{*2}(\gamma)$ を得る. $c_2^{*2}(\gamma) \leq c_1^2(\gamma)$ は明らかである. 筆者の数々の経験によると, $\gamma \leq 0.05$ の範囲に対し, $c_2^{*2}(\gamma)$ はなかなかよい近似を与えるのである. この方法の正当性, 背後にある条件を明らかにすることは, 数値計算法における面白い問題であろう.

2.3 Scheffé の区間 (10) との比較.

$\theta_i = \underline{p}_i' \underline{a}$, $i = 1, 2, \dots, m$ に対する同時信頼区間として Scheffé の結果を用いると, (10)において $d = \underline{p}_i$ として

$$\hat{\theta}_i - s\sqrt{kF_{k,n}(\gamma)} \sqrt{\underline{p}_i' C^{-1} \underline{p}_i} \leq \theta_i \leq \hat{\theta}_i + s\sqrt{kF_{k,n}(\gamma)} \sqrt{\underline{p}_i' C^{-1} \underline{p}_i} \quad i = 1, \dots, m \quad (40)$$

を得る. この場合信頼係数は $\geq 1 - \gamma$ である. われわれの結果 (22) と比較すると, 区間巾のちがいは, $\sqrt{kF_{k,n}(\gamma)}$ と $t_{\max}(\gamma; n, m)$ のちがいに依るものである. 当然のことながら

$$\sqrt{kF_{k,n}(\gamma)} \geq t_{\max}(\gamma; n, m) \quad (41)$$

である. 実際

$$\begin{aligned} & Pr\left\{ \sup_{\underline{d}} \frac{\underline{d}'(\hat{\underline{a}} - \underline{a})(\hat{\underline{a}} - \underline{a})' \underline{d}}{s^2 \underline{d}' C^{-1} \underline{d}} > t_{\max}^2(\gamma; n, m) \right\} \\ & \leq Pr\left\{ \max_i \frac{\underline{p}_i'(\hat{\underline{a}} - \underline{a})(\hat{\underline{a}} - \underline{a})' \underline{p}_i}{s^2 \underline{p}_i' C^{-1} \underline{p}_i} > t_{\max}^2(\gamma; n, m) \right\} = \gamma \end{aligned}$$

一方

$$Pr\left\{ \sup_{\underline{d}} \frac{\underline{d}'(\hat{\underline{a}} - \underline{a})(\hat{\underline{a}} - \underline{a})' \underline{d}}{s^2 \underline{d}' C^{-1} \underline{d}} < kF_{k,n}(\gamma) \right\} = \gamma$$

であるから, $kF_{k,n}(\gamma) \geq t_{\max}^2(\gamma; n, m)$, したがって (41) を得る.

$t_{\max}^2(\gamma; n, m) / kF_{k,n}(\gamma)$ は, Dunn が [2] の第 3 表で示した $c_1^2(\gamma; n, m) / kF_{k,n}(\gamma)$ のように, 1 より大きくなることは決してない. $c_2^{*2}(\gamma; n, m)$ を用いた場合, $c_2^{*2}(\gamma; n, m) / kF_{k,n}(\gamma)$ が 1 を越すことがあるかも知れないが, 残念ど問題とはならないであろう.

§ 3. $\delta(\gamma, m)$ の計算のし方

前節で $t_{\max}^2(\gamma; n, m)$ の近似として $c_2^{*2}(\gamma)$ を求める方法を述べたが, 実際には

$$\delta(\gamma, m) = \sum_{i < j}^m Pr\{t_i^2 > c_1^2(\gamma), t_j^2 > c_1^2(\gamma)\} \quad (36)$$

の計算が厄介である. それは $Pr\{t_i^2 > c_1^2(\gamma), t_j^2 > c_1^2(\gamma)\}$ が

$$\rho_{ij} = \frac{\underline{p}_i' C^{-1} \underline{p}_j}{\sqrt{\underline{p}_i' C^{-1} \underline{p}_i} \sqrt{\underline{p}_j' C^{-1} \underline{p}_j}} \quad (27)$$

に依存するため、一つ一つ計算しなければならないからである。 m が少し大きくなると、相当の労力を必要とする。これではわれわれの第2近似まで考慮した方法も実際的ではないので、この不便をくうための計算上の解説と数表を与える。

t_i と t_j の同時分布の密度函数 (31) を、 ρ_{ij} を強調して、 $f_n(t_i, t_j; \rho_{ij})$ と書く。このとき

$$\begin{aligned} P_r\{t_i^2 > c^2, t_j^2 > c^2\} &= 2[P_r\{t_i < -c, t_j < -c\} + P_r\{t_i > c, t_j < -c\}] \\ &= 2\left[\int_{-\infty}^{-c} \int_{-\infty}^{-c} f_n(t_i, t_j; \rho_{ij}) dt_j dt_i + \int_c^{\infty} \int_{-\infty}^{-c} f_n(t_i, t_j; \rho_{ij}) dt_j dt_i\right] \end{aligned} \quad (30)$$

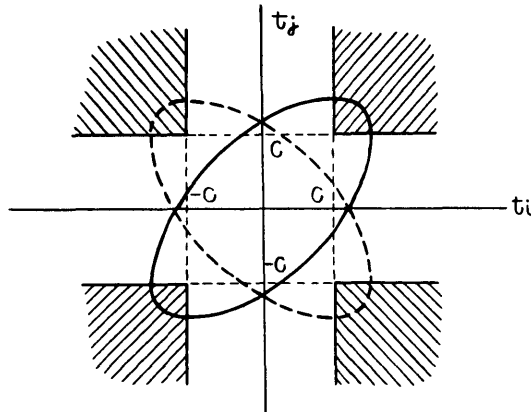
である。Dunnet と Sobel [3] は

$$P \equiv \int_{-\infty}^k \int_{-\infty}^h f_n(t_i, t_j; \rho_{ij}) dt_j dt_i$$

を評価する正確な式、及び、漸近的な式を与えていた。これを利用するためには

$$\int_c^{\infty} \int_{-\infty}^{-c} f_n(t_i, t_j; \rho_{ij}) dt_j dt_i = \int_{-\infty}^{-c} \int_{-\infty}^{-c} f_n(t_i, t_j; -\rho_{ij}) dt_j dt_i \quad (42)$$

として計算すればよい。(42) は第2図から容易に分ることである。



第2図

これにより

$$P(c, n, \rho_{ij}) \equiv P_r\{t_i^2 > c^2, t_j^2 > c^2\} \quad (43)$$

は c, n をとめたとき、 ρ_{ij} の偶函数である。更に $c_1(\gamma)$ は普通の場合大きいので、 ρ_{ij} が 0 に近くない限り、その正、負により、(30) の何れか一方の積分は無視できるほど小さい。

以上の点を考慮して

$$P(c, n, \rho) \equiv P_r\{t_1^2 > c^2, t_2^2 > c^2\}$$

の数表を

$$c = 2.0(0.5)4.5$$

$$n = 10(2)50(5)90, 100, 120, 150, 200, \infty$$

$$|\rho| = 0.00(0.10)0.90, 0.95$$

に対して作り、この論文の終りにまとめておいた。なお、第1近似 $c_1(\gamma)$ の数表は、Dunn [2] により与えられていることを注意しておく。

§ 4. この方法を使用する場合

われわれは、さきに Scheffé の方法と比較して、 t_{\max}^2 を用いる方が、同じ同時信頼係数に対してより狭い巾の区間を得ることを述べたが、使用上には重要な区別がある。

われわれの方法及び Dunn の方法は、調べるべき $a_i, i=1, \dots, k$ の一次結合の m 個が、あらかじめ指定され得る場合に適用されねばならない。データを見た後、その与える情報に基いてきめられた a_i の一次結合の組に対するものではない。データを見た後に、比較すべき a_i の一次結合を考えざるを得ない場合は、Scheffé の方法によらざるを得ない。Scheffé の方法は、このように、データを見てから、一次結合を自由に選択することを許す利点をもつが、その代償として、区間巾を不当に広くしてしまう恐れがある。特に k が大きい場合にはそうである。一般に、科学的研究にあっては、解明すべき目的、従って、比較すべき事柄は、前もって慎重に検討され、これらに最もよく適合する実験を組み、かくしてデータがとられ、分析が行なわれる。かくしてわれわれの方法の適用分野は相当広いのであるが、計算の手間は Dunn のものと比較して、かなり厄介である。しかし Dunn の方法も、第1近似があらいため、Scheffé の区間より広い区間が生じる場

合が出てきてしまう重大欠点をもつ。われわれの $t_{\max}(\gamma)$ による方法は、この Dunn の方法のもう欠点を救う意味をもっているのである。

§ 5. 特別の場合及び数値例

5.1 二元配置計画の時

比較すべき一次結合の個数 m が大きい時、 ρ_{ij} の個数は $m(m-1)/2$ で、 $\delta(\gamma, m)$ の計算に大変な労力が必要と思われるが、実際には、われわれの用意した数表を用いて、案外簡単に処理できる場合がある。例として二元配置実験計画の場合を考える。

$$y_{ij} = \mu + \alpha_i + \beta_j + e_{ij} \quad i=1, \dots, r; j=1, \dots, s \quad (44)$$

がモデルで $\sum_i \alpha_i = \sum_j \beta_j = 0$, e_{ij} は $N(0, \sigma^2)$ に従う確率変数である。よく知られているように

$$\hat{\mu} = \bar{y}_{..}, \hat{\alpha}_i = \bar{y}_{i..} - \bar{y}_{..}, \hat{\beta}_j = \bar{y}_{..j} - \bar{y}_{..}$$

がパラメータの推定値である。 (\cdot) は其処の添字についての平均であることを示す) σ^2 は $(r-1)$, $(s-1)$ の自由度で推定される。先ず

$$\begin{aligned} E(\hat{\mu}) &= \mu, & E(\hat{\alpha}_i) &= \alpha_i, & E(\hat{\beta}_j) &= \beta_j \\ \text{Var}(\hat{\mu}) &= \frac{1}{rs} \sigma^2, & \text{Var}(\hat{\alpha}_i) &= \frac{r-1}{sr} \sigma^2, & \text{Var}(\hat{\beta}_j) &= \frac{s-1}{rs} \sigma^2 \\ \text{Cov}(\hat{\mu}, \hat{\alpha}_i) &= 0, & \text{Cov}(\hat{\mu}, \hat{\beta}_j) &= 0, & \text{Cov}(\hat{\alpha}_i, \hat{\beta}_j) &= 0 \\ \text{Cov}(\hat{\alpha}_i, \hat{\alpha}_{i'}) &= -\frac{1}{rs} \sigma^2, & \text{Cov}(\hat{\beta}_j, \hat{\beta}_{j'}) &= -\frac{1}{rs} \sigma^2 & (i \neq i', j \neq j') \\ \text{Var}(\hat{\alpha}_i - \hat{\alpha}_{i'}) &= \frac{2}{s} \sigma^2, & \text{Var}(\hat{\beta}_j - \hat{\beta}_{j'}) &= \frac{2}{r} \sigma^2 & (i \neq i', j \neq j') \end{aligned} \quad (45)$$

を注意しておく。同時信頼区間が要求されている μ, α_i, β_j の一次式群を

- (1) μ
- (2) $\alpha_i; \quad i=1, 2, \dots, r$
- (3) $\alpha_i - \alpha_{i'}; \quad i < i'; i, i' = 1, 2, \dots, r$
- (4) $\beta_j; \quad j=1, 2, \dots, s$
- (5) $\beta_j - \beta_{j'}; \quad j < j'; j, j' = 1, 2, \dots, s$

としよう。個数は

$$m = 1 + r + \frac{1}{2}r(r-1) + s + \frac{1}{2}s(s-1) = 1 + \frac{1}{2}r(r+1) + \frac{1}{2}s(s+1)$$

である。これらの不偏推定量は

- (1)' $\hat{\mu} = \bar{y}_{..}$
- (2)' $\hat{\alpha}_i = \bar{y}_{i..} - \bar{y}_{..}; \quad i=1, 2, \dots, r$
- (3)' $\hat{\alpha}_i - \hat{\alpha}_{i'} = \bar{y}_{i..} - \bar{y}_{i'}; \quad i < i'; i, i' = 1, 2, \dots, r$
- (4)' $\hat{\beta}_j = \bar{y}_{..j} - \bar{y}_{..}; \quad j=1, 2, \dots, s$
- (5)' $\hat{\beta}_j - \hat{\beta}_{j'} = \bar{y}_{..j} - \bar{y}_{..j'}; \quad j < j'; j, j' = 1, 2, \dots, s$

となる。従って $\delta(\gamma, m)$ を評価するときに問題となる、上の統計量間の相関係数は、次のようにグループに分けて考えればよい。

(I) $\rho=0$ であるもの: $(\hat{\mu}, \hat{\alpha}_i), (\hat{\mu}, \hat{\alpha}_i - \hat{\alpha}_{i'}), (\hat{\mu}, \hat{\beta}_j), (\hat{\mu}, \hat{\beta}_j - \hat{\beta}_{j'}), (\hat{\alpha}_i, \hat{\beta}_j), (\hat{\alpha}_i, \hat{\beta}_j - \hat{\beta}_{j'}), (\hat{\alpha}_i - \hat{\alpha}_{i'}, \hat{\beta}_j), (\hat{\alpha}_i, \hat{\alpha}_{i'} - \hat{\alpha}_{i''}), (\hat{\alpha}_i - \hat{\alpha}_{i'}, \hat{\alpha}_{i''} - \hat{\alpha}_{i'''}), (\hat{\beta}_j, \hat{\beta}_{j'} - \hat{\beta}_{j''}), (\hat{\beta}_j - \hat{\beta}_{j'}, \hat{\beta}_{j''} - \hat{\beta}_{j'''})$
 $(\hat{\alpha}_i - \hat{\alpha}_{i'}, \hat{\beta}_j - \hat{\beta}_{j'})$ に対する相関係数。個数は

$$\begin{aligned}
m_1 &= r + \frac{1}{2}r(r-1) + s + \frac{1}{2}s(s-1) + rs + \frac{1}{2}rs(s-1) + \frac{1}{2}rs(r-1) \\
&\quad + \frac{1}{2}r(r-1)(r-2) + \frac{1}{8}r(r-1)(r-2)(r-3) + \frac{1}{2}s(s-1)(s-2) \\
&\quad + \frac{1}{8}s(s-1)(s-2)(s-3) + \frac{1}{4}rs(r-1)(s-1) \\
&= \frac{1}{2}r(r+1) + \frac{1}{2}s(s+1) + \frac{1}{4}rs(r+1)(s+1) + \frac{1}{8}r(r^2-1)(r-2) \\
&\quad + \frac{1}{8}s(s^2-1)(s-2)
\end{aligned}$$

(II) $\rho = -1/r-1$ であるもの; $(\hat{\alpha}_i, \hat{\alpha}_{i'})$ に対する相関係数で, その個数は

$$m_2 = \frac{1}{2}r(r-1)$$

(III) $\rho = -1/s-1$ であるもの; $(\hat{\beta}_j, \hat{\beta}_{j'})$ に対する相関係数で, その個数は

$$m_3 = \frac{1}{2}s(s-1)$$

(IV) $\rho = 1/2$ であるもの; $(\hat{\alpha}_i - \hat{\alpha}_{i'}, \alpha_i - \hat{\alpha}_{i''}), (\hat{\beta}_j - \hat{\beta}_{j'}, \beta_j - \hat{\beta}_{j''})$ に対する相関係数で, その個数は

$$m_4 = \frac{1}{2}r(r-1)(r-2) + \frac{1}{2}s(s-1)(s-2)$$

(V) $\rho = \sqrt{\frac{r}{2(r-1)}}$ or $-\sqrt{\frac{r}{2(r-1)}}$ であるもの; $(\hat{\alpha}_i, \hat{\alpha}_i - \hat{\alpha}_{i'})$ あるいは $(\hat{\alpha}_i, \hat{\alpha}_{i'} - \hat{\alpha}_i)$ に対する相関係数で, その個数は

$$m_5 = r(r-1)$$

(VI) $\rho = \sqrt{\frac{s}{2(s-1)}}$ or $-\sqrt{\frac{s}{2(s-1)}}$ であるもの; $(\hat{\beta}_j, \hat{\beta}_j - \hat{\beta}_{j'})$ あるいは $(\hat{\beta}_j, \hat{\beta}_{j'} - \hat{\beta}_j)$ に対する相関係数で, その個数は

$$m_6 = s(s-1)$$

以上の如く, $\delta(r, m)$ の中に含まれる $1/2m(m-1)$ 個の項は, 6 部分に分れ, 各グループ内では $|\rho|$ が一定となっている. 従って $P(c, n, \rho) = P_r\{t_1^2 > c^2, t_2^2 > c^2\}$ は 6 個だけ求めればよく, 用意した数表から簡単に評価される.

5.2 二つの回帰式の比較

$y^{(i)}$, $i=1, 2$, がそれぞれ

$$E(y^{(i)}) = a_1^{(i)}z_1^{(i)} + a_2^{(i)}z_2^{(i)} + \cdots + a_k^{(i)}z_k^{(i)} \quad (46)$$

$$\text{Var}(y^{(i)}) = \sigma^2 \quad (47)$$

をもつ正規分布に従う時, $b_j = a_j^{(1)} - a_j^{(2)}$, $i=1, \dots, k$, に対する同時信頼区間も, 今迄と同様の形で作ることができる. すなわち

$$\underline{a}^{(i)} = (Z^{(i)}Z^{(i)\prime})^{-1}Z^{(i)}\underline{y}^{(i)}, \quad i=1, 2 \quad (48)$$

は, 平均 $\underline{a}^{(i)}$, 分散共分散行列 $\sigma^2(Z^{(i)}Z^{(i)\prime})^{-1}$ をもつ k 変数正規分布に従うから $\underline{b} = \underline{a}^{(1)} - \underline{a}^{(2)}$ の分布が

$$E(\underline{b}) = \underline{b}, E\underline{b} - b'] = \sigma^2[(Z^{(1)}Z^{(1)\prime})^{-1} + (Z^{(2)}Z^{(2)\prime})^{-1}]$$

をもつ, やはり, k 変数正規分布である. これを出発点とすれば, あとは今迄と同じである. かくして

$$\begin{aligned}
&\hat{a}_j^{(1)} - \hat{a}_j^{(2)} - s \cdot t_{\max}(r; n, k) \sqrt{c^{(1)jj} + c^{(2)jj}} \\
&\leq a_j^{(1)} - a_j^{(2)} \leq \hat{a}_j^{(1)} - \hat{a}_j^{(2)} + s \cdot t_{\max}(r; n, k) \sqrt{c^{(1)jj} + c^{(2)jj}}
\end{aligned} \quad (49)$$

なる結果を得る。但し、 N_1, N_2 をそれぞれの観測数、 s_1^2, s_2^2 をそれぞれの残差分散として、

$$n = N_1 + N_2 - 2k$$

$$s^2 = [(N_1 - k)s_1^2 + (N_2 - k)s_2^2] / (N_1 + N_2 - 2k) \quad (50)$$

である。 $t_{\max}^2(\gamma; n, k)$ を評価する時に必要な ρ_{ij} は

$$\rho_{ij} = \frac{c^{(1)ij} + c^{(2)ij}}{\sqrt{(c^{(1)jj} + c^{(2)jj})(c^{(1)ii} + c^{(2)ii})}} \quad (51)$$

である。

5.3 数値例

(A) 編からつむいで作られる糸の強さを、纖維の有効長さ、標準纖維重量との関係で示していく例をとりあげてみる。これは Tippett の本 [10] の 10.1 節にあるものである。回帰式は

$$Y - 47.08 = -0.331507(x_1 - 47.54) + 0.501491(x_2 - 7.58)$$

書き直して

$$Y = 59.04 - 0.331507x_1 + 0.501491x_2$$

となっている。これに基いて、モデル

$$E(y) = \mu + a_1x_1 + a_2x_2$$

の、 μ, a_1, a_2 に対する 95% 同時信頼区間を求めてみよう。

$$\theta_1 \equiv \hat{\mu} = 59.04, \theta_2 \equiv \hat{a}_1 = -0.331507, \theta_3 \equiv \hat{a}_2 = 0.501491$$

故に $m=3$ 。 σ^2 の不偏推定値は

$$s^2 = 52.18 \quad (s = 7.224)$$

で、その自由度 n は 47 となっている。

$t_{\max}^2(0.05; 47, 3)$ の第 1 近似 $c_1^2(0.05)$ は

$$\int_{c_1(0.05)}^{\infty} S_{47}(t) dt = \frac{0.05}{2 \times 3} = 0.008333$$

を充す $c_1(0.05)$ の自乗で

$$c_1^2(0.05) = 6.160 \quad c_1(0.05) = 2.482$$

さて

$$C = \begin{pmatrix} 50 & 2377 & 379 \\ 2377 & 140213 & 15749 \\ 379 & 15749 & 3207 \end{pmatrix}, \quad C^{-1} = \begin{pmatrix} 1.0218 & -0.0083832 & -0.079593 \\ -0.0083832 & 0.000084680 & 0.00057485 \\ -0.079593 & 0.00057485 & 0.0068949 \end{pmatrix}$$

であるから、

$$\rho_{\hat{\mu}\hat{a}_1} = c^{12} / \sqrt{c^{11}c^{12}} = -0.9012, \quad \rho_{\hat{\mu}\hat{a}_2} = c^{13} / \sqrt{c^{11}c^{33}} = -0.9483$$

$$\rho_{\hat{a}_1\hat{a}_2} = c^{23} / \sqrt{c^{22}c^{33}} = 0.7523$$

これらの ρ の値に対する $P(c_1(0.05), n, \rho) = P(2.482, 47, \rho)$ を求めるには、終りの数表より $c=2.0, 2.5, 3.0, 3.5$ に対して、 $n=46, 47; \rho=0.6, 0.7, 0.8, 0.9, 1.0$ のグラフをかき、これより $P(c, 47, -0.9012), P(c, 47, -0.9483), P(c, 47, 0.7523)$ の値をきめて、次の第 3 図のようなグラフによるとよい。

かくして

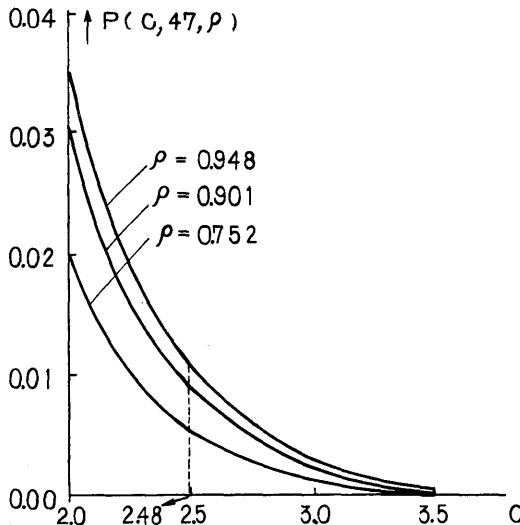
$$P(2.482, 47, -0.948) = 0.0111, \quad P(2.482, 47, -0.901) = 0.0093$$

$$P(2.482, 47, 0.752) = 0.0053$$

従って

$$\delta(0.05, 3) = 0.0257$$

と求められる。故に $t_{\max}(0.05)$ の近似 $c_2^*(0.05)$ は



第3図

区間と、われわれの方法によるものとの、区間巾の比較を示せば、それぞれ

$$c_2^*(0.05)/c_1(0.05) = 2.008/2.482 = 0.809$$

$$c_2^*(0.05)/\sqrt{3F_{3,47}(0.05)} = 2.008/\sqrt{3 \times 2.806} = 0.717$$

となっている。

(B) 筆者等は、昭和36年度において、文部省科学研究費による“統計的模型解析に関する総合的研究”(代表者：林知巳夫・理博)に参加し、「味覚に関する数量的研究」にたずさわった。[9]。この際行なった種々の回帰分析に対して、回帰係数に関する同時信頼区間を作るため、本研究がなされたのである。その中から、簡単な例を1つとりあげてみよう。

U を、喇叭により与えられた、清酒の総合的良さを表す得点、

V_1, V_2, V_3 をそれぞれ香り、味、色沢の良さを示す得点とする。判定人は、サンプルの清酒を喇叭いて、香り、味、色沢をしらべ、清酒としての総合的な評価を行なう。これをみるため、 U の V_1, V_2, V_3 えの線型回帰が考えられたのである。モデルは

$$E(U) = \mu + a_1 V_1 + a_2 V_2 + a_3 V_3$$

$$\text{Var}(U) = \sigma^2$$

である。清酒の銘柄数、即ち、標本の大きさは、 $N=30$ で、各銘柄には、5人の判定人の平均得点が対応させられている。得点の基礎分布として正規分布を仮定するのに助けとなっているのである。データから求められた回帰式は

$$U^* - 0.228 = 0.3631(V_1 - 0.070) + 0.5724(V_2 - 0.263) + 0.2588(V_3 - 0.240)$$

これをもとに

$$\theta_1 = a_1, \theta_2 = a_2, \theta_3 = a_3, \theta_4 = a_1 - a_2, \theta_5 = a_1 - a_3, \theta_6 = a_2 - a_3$$

に対する 95% 同時信頼区間を作つてみよう。

この時必要な σ^2 の不偏推定値は、自由度 $n=30-4=26$ をもつ $s^2=0.0205$ で、したがつて $s=0.143$ である。また、 C^{-1} は、 μ を消去して考えて

$$C^{-1} = \left\| \sum_{\alpha=1}^{30} (V_{i\alpha} - \bar{V}_i)(V_{j\alpha} - \bar{V}_j) \right\|^{-1} = \begin{pmatrix} 0.2747 & -0.1325 & -0.0552 \\ -0.1325 & 0.3703 & -0.1067 \\ -0.0552 & -0.1067 & 0.2122 \end{pmatrix}$$

である。 $m=6$ であるから、 $t_{\max}(0.05)$ の第1近似は

$$\int_{c_2^*(0.05)}^{\infty} S_{47}(t) dt = \frac{1}{2 \times 3} (0.05 + 0.0257) = 0.0126$$

より $c_2^*(0.05)=2.008$ を得る。この数値を用いて $\theta_1=\mu, \theta_2=a_1, \theta_3=a_2$ の 95% 同時信頼区間

$$\hat{\theta}_i - \sqrt{c^{ii}} s \cdot c_2^*(0.05) \leq \theta_i \leq \hat{\theta}_i + \sqrt{c^{ii}} s \cdot c_2^*(0.05) \quad (25)$$

は次のようになる。

$$\begin{aligned} 44.38 &\leq \mu \leq 73.70 \\ -0.4650 &\leq a_1 \leq -0.1980 \\ -0.7030 &\leq a_2 \leq 1.706 \end{aligned}$$

a_2 の有意性は、統計的には保証されないことが認められる。

Dunn 及び Scheffé の方法による同時信頼

$$2 \cdot \int_{c_1(0.05)}^{\infty} S_{26}(t) dt = 0.05/6 = 0.008333$$

を充たす $c_1(0.05)$ である。即ち

$$c_1(0.05) = 2.861$$

第2近似をもとめるため必要な $m(m-1)/2=15$ 個の ρ の値を示す。 $\rho_{i,j} \equiv \rho_{ij}$ と書く。

$$\rho_{12} = c^{12}/\sqrt{c^{11}c^{22}} = -0.415, \quad \rho_{13} = c^{13}/\sqrt{c^{11}c^{33}} = -0.229$$

$$\rho_{23} = c^{23}/\sqrt{c^{22}c^{33}} = -0.381,$$

$$\rho_{14} = (c^{11}-c^{12})/\sqrt{c^{11}(c^{11}-2c^{12}+c^{22})} = 0.814, \quad \rho_{15} = 0.814, \quad \rho_{16} = -0.165$$

$$\rho_{24} = (c^{12}-c^{22})/\sqrt{c^{22}(c^{11}-2c^{12}+c^{22})} = -0.866, \quad \rho_{25} = -0.055, \quad \rho_{26} = 0.879$$

$$\rho_{34} = (c^{13}-c^{23})/\sqrt{c^{33}(c^{11}-2c^{12}+c^{22})} = 0.117, \quad \rho_{35} = -0.751, \quad \rho_{36} = -0.776$$

$$\rho_{45} = (c^{11}-c^{12}-c^{13}+c^{23})/\sqrt{(c^{11}-2c^{12}+c^{22})(c^{11}-2c^{13}+c^{33})} = 0.482$$

$$\rho_{46} = (c^{12}-c^{13}-c^{22}+c^{23})/\sqrt{(c^{11}-2c^{12}+c^{22})(c^{22}-2c^{23}+c^{33})} = -0.651$$

$$\rho_{56} = (c^{12}-c^{13}-c^{23}+c^{33})/\sqrt{(c^{11}-2c^{13}+c^{33})(c^{22}-2c^{23}+c^{33})} = 0.350$$

これらの値に対する $P(2.861, 26, \rho)$ を、終りの数表を利用して求めると、下のようになる。

$\rho_{i,j}$ の i, j	1, 2	1, 3	1, 4	1, 5	1, 6	2, 3	2, 4	2, 5
$P(2.861, 26, \rho)$	0.00078	0.00040	0.00310	0.00310	0.00032	0.00069	0.00382	0.00022
2, 6	3, 4	3, 5	3, 6	4, 5	4, 6	5, 6	$\delta(0.05, 15)$	
0.00410	0.00028	0.00250	0.00275	0.00101	0.00185	0.00061	0.02553	

かくして、第2近似 $c_2^*(0.05)$ は、 t -分布より

$$\int_{c_2^*(0.05)}^{\infty} S_{26}(t) dt = (0.05 + 0.02553)/(2 \times 6) = 0.006294$$

を充すものとして得られる。

$$c_2^*(0.05) = 2.682$$

この $c_2^*(0.05)$ の値を用いて、信頼区間

$$\hat{a}_i - c_2^*(0.05)s\sqrt{c^{ii}} \leq a_i \leq \hat{a}_i + c_2^*(0.05)s\sqrt{c^{ii}}, \quad (i=1, 2, 3) \quad (53)$$

$$\hat{a}_i - \hat{a}_j - c_2^*(0.05)s\sqrt{c^{ii} - 2c^{ij} + c^{jj}} \leq a_i - a_j \leq \hat{a}_i - \hat{a}_j + c_2^*(0.05)s\sqrt{c^{ii} - 2c^{ij} + c^{jj}} \quad (54)$$

を計算すると

$$0.162 \leq a_1 \leq 0.564$$

$$0.339 \leq a_2 \leq 0.806$$

$$0.082 \leq a_3 \leq 0.436$$

$$-0.575 \leq a_1 - a_2 \leq 0.156$$

$$-0.192 \leq a_1 - a_3 \leq 0.401$$

$$-0.028 \leq a_2 - a_3 \leq 0.656$$

となるのである。これより、 a_1, a_2, a_3 は 0 でないと判断される。更に a_2 は a_1, a_2 に比べて大きいように思われるが、上の区間はこれを示していない。 $(a_i - a_j = 0)$ が区間に含まれているから。)

Dunn 及び Scheffé の方法によるものとの比較は、それぞれ

$$\frac{c_2^*(0.05)}{c_1(0.05)} = \frac{2.682}{2.861} = 0.937$$

$$\frac{C_2^*(0.05)}{\sqrt{3 \cdot F_{8,26}(0.05)}} = \frac{2.682}{\sqrt{3 \times 2.98}} = \frac{2.682}{2.990} = 0.897$$

ある。

(i) $c=2.0$
 $P(c, n, \rho) = P_{\{t_1^2 > c^2, t_2^2 > c^2\}}$ の表

n	$ \rho $	0.0	0.1	0.2	0.3	0.4	0.5	0.6	0.7	0.8	0.9	0.95
10	0.00985	0.01023	0.01157	0.01328	0.01604	0.01957	0.02408	0.02980	0.03716	0.04735	0.05483	0.05483
12	818	818	853	973	1143	1405	1741	2169	2708	3406	4375	5089
14	706	740	851	1017	1273	1588	2002	2519	3188	4122	4811	4811
16	627	660	765	0.00928	1198	1481	1879	2379	3028	3933	4604	4604
18	569	601	701	861	1093	1398	1788	2272	2904	3788	4444	4444
20	0.00525	0.00556	0.00653	0.00809	0.01037	0.01332	0.01710	0.02187	0.02805	0.03673	0.04317	0.04317
22	489	520	614	768	0.00991	1280	1650	2119	2726	3579	4213	4213
24	461	491	583	735	954	1238	1601	2062	2660	3501	4127	4127
26	437	467	558	707	923	1203	1560	2015	2604	3436	4054	4054
28	418	447	537	684	896	1173	1525	1974	2557	3380	3993	3993
30	0.00402	0.00410	0.00518	0.00664	0.00874	0.01147	0.01495	0.01939	0.02516	0.03331	0.03939	0.03939
32	387	416	503	647	854	1124	1469	1909	2481	3289	3892	3892
34	375	393	489	632	837	1105	1446	1882	2449	3252	3851	3851
36	364	393	477	619	822	1087	1426	1859	2422	3219	3814	3814
38	355	383	467	608	809	1072	1408	1838	2397	3190	3782	3782
40	0.00346	0.00374	0.00458	0.00597	0.00797	0.01058	0.01392	0.01819	0.02375	0.03163	0.03752	0.03752
42	339	366	449	588	786	1046	1378	1802	2355	3139	3726	3726
44	332	360	442	580	776	1035	1365	1787	2337	3118	3702	3702
46	326	353	435	572	767	1023	1353	1772	2330	3098	3680	3680
48	320	348	429	565	759	1016	1342	1759	2305	3080	3660	3660
50	0.00315	0.00343	0.00423	0.00559	0.00752	0.01007	0.01332	0.01747	0.02291	0.03064	0.03641	0.03641
55	305	331	411	545	736	0.00989	1310	1722	2261	3027	3601	3601
60	296	322	401	535	723	973	1292	1701	2236	2997	3568	3568
65	288	314	393	524	712	961	1277	1683	2215	2972	3540	3540
70	282	308	386	517	703	948	1264	1667	2196	2950	3516	3516
75	0.00277	0.00302	0.00380	0.00510	0.00694	0.00940	0.01253	0.01654	0.02181	0.02932	0.03495	0.03495
80	272	297	375	504	687	932	1243	1643	2167	2915	3476	3476
85	268	293	370	499	681	925	1235	1632	2155	2901	3460	3460
90	264	289	366	494	676	918	1227	1623	2144	2888	3446	3446
100	258	283	359	486	667	907	1214	1608	2126	2866	3422	3422
120	0.00249	0.00274	0.00349	0.00474	0.00653	0.00891	0.01195	0.01585	0.02099	0.02834	0.03385	0.03385
150	240	265	339	463	640	875	1176	1562	2072	2801	3349	3349
200	232	256	329	452	626	858	1156	1540	2045	2769	3313	3313
∞	207	230	301	419	586	811	1100	1472	2072	2672	3205	3205

$P(c, n, \rho) = P_{\{t_1^2 > c^2, t_2^2 > c^2\}}$ の表(ii) $c=2.5$

n	$ \rho $	0.0	0.1	0.2	0.3	0.4	0.5	0.6	0.7	0.8	0.9	0.95
10	0.00285	0.00280	0.00346	0.00423	0.00532	0.00678	0.00872	0.01121	0.01449	0.01916	0.02263	0.02263
12	208	222	262	330	428	559	731	1049	1249	1670	1987	1987
14	162	174	211	272	361	481	637	840	1111	1501	1796	1796
16	132	143	177	233	314	425	570	759	1012	1379	1658	1658
18	111	121	152	205	281	385	520	698	0.00938	1287	1553	1553
20	0.000962	0.00106	0.00135	0.00184	0.00255	0.00353	0.00482	0.00651	0.00880	0.01214	0.01470	0.01470
22	848	938	121	168	236	329	451	613	833	1156	1404	1404
24	760	846	111	155	220	309	427	583	796	1109	1350	1350
26	692	772	102	145	207	293	406	558	764	1070	1304	1304
28	635	712	0.000952	136	196	279	389	537	738	1036	1266	1266
30	0.000589	0.000664	0.000896	0.00129	0.00187	0.00267	0.00355	0.00519	0.00715	0.01008	0.01233	0.01233
32	550	623	846	123	180	258	362	503	696	0.00983	1204	1204
34	518	587	806	118	173	249	362	489	679	961	1179	1179
36	490	558	770	113	167	242	342	478	664	942	1157	1157
38	465	532	738	110	162	235	334	467	651	925	1138	1138
40	0.000444	0.000509	0.000711	0.00106	0.00158	0.00229	0.00326	0.00458	0.00639	0.00910	0.01120	0.01120
42	425	490	688	103	154	224	320	449	628	897	1105	1105
44	409	473	666	100	150	219	314	442	619	884	1090	1090
46	394	456	648	98	147	215	308	435	610	873	1078	1078
48	381	442	630	956	144	211	304	429	602	863	1066	1066
50	0.000368	0.000429	0.000614	0.000934	0.00141	0.00208	0.00299	0.00423	0.00595	0.00854	0.01055	0.01055
55	344	402	582	890	135	200	289	410	579	834	1032	1032
60	324	380	555	856	131	194	281	400	566	817	1012	1012
65	308	364	532	826	127	189	275	392	556	803	0.00996	0.00996
70	291	348	514	804	124	185	269	385	546	791	982	982
75	0.000281	0.000337	0.000500	0.000784	0.00121	0.00181	0.00264	0.00379	0.00539	0.00781	0.00970	0.00970
80	271	326	486	764	118	178	260	373	532	772	960	960
85	264	316	474	750	116	175	257	368	526	764	951	951
90	256	308	464	736	114	173	253	364	520	757	943	943
100	245	294	448	714	111	169	248	357	511	745	939	939
120	0.000228	0.000276	0.000422	0.000680	0.00107	0.00163	0.00240	0.00347	0.00498	0.00728	0.00908	0.00908
150	212	257	398	648	102	157	232	337	485	711	888	888
200	196	239	376	614	9890	151	224	326	472	694	868	868
∞	154	192	313	528	858	134	202	307	434	644	809	809

(iii) $c=3.0$
 $P(c, n, \rho) = P_{\tau}\{t_1^2 > c^2, t_2^2 > c^2\}$ の表

n	$ \rho $	$c=3.0$								
		0.0	0.1	0.2	0.3	0.4	0.5	0.6	0.7	0.8
10	0.00094	0.001040	0.001183	0.001448	0.001866	0.002411	0.003228	0.004247	0.005635	0.007672
12	607	0.000648	0.000775	0.001093	0.001350	0.001804	0.002476	0.003331	0.004502	0.006238
14	409	444	554	749	1041	1430	2002	2739	3760	5287
16	294	326	421	590	0.000842	1181	1681	2334	3245	4619
18	224	252	335	483	705	1008	1453	2042	2870	4128
20	0.000177	0.000202	0.000275	0.000408	0.000607	0.000881	0.001284	0.001823	0.002588	0.003755
22	145	167	233	353	534	785	1154	1654	2367	3463
24	121	141	201	311	477	709	1053	1520	2192	3228
26	104	122	177	279	432	649	0.000971	1412	2049	3037
28	0.000990	107	158	252	396	600	904	1323	1931	2877
30	0.000980	0.00095	0.000142	0.000231	0.000366	0.000560	0.000848	0.001249	0.001832	0.002743
32	71	85	130	214	341	526	801	1188	1747	2627
34	64	78	120	199	321	498	760	1131	1674	2529
36	58	71	111	187	303	472	726	1084	1611	2442
38	54	66	104	176	287	451	696	1043	1556	2366
40	0.000050	0.000061	0.000097	0.000166	0.000274	0.000432	0.000669	0.001007	0.001507	0.002299
42	46	58	92	158	262	415	645	0.000975	1463	2238
44	42	54	87	151	252	401	625	947	1424	2185
46	40	51	83	144	243	387	606	921	1389	2136
48	38	48	76	139	234	376	589	898	1358	2092
50	0.000036	0.000046	0.000076	0.000134	0.000227	0.000365	0.000574	0.000877	0.001329	0.002052
55	32	41	69	123	211	344	542	832	1268	1966
60	28	37	63	115	199	324	516	796	1218	1897
65	26	34	59	108	188	309	494	766	1176	1838
70	24	32	56	103	180	297	476	741	1141	1789
75	0.000022	0.000030	0.000053	0.000099	0.000173	0.000287	0.000461	0.000720	0.001112	0.001747
80	21	28	50	94	167	277	448	701	1086	1712
85	20	27	48	91	162	270	437	686	1064	1680
90	19	26	46	88	157	263	427	671	1044	1652
100	18	24	43	83	149	252	410	648	1012	1606
120	0.000016	0.000022	0.000039	0.000076	0.000138	0.000235	0.000386	0.000614	0.000964	0.001537
150	13	19	35	70	128	220	363	581	917	1470
200	12	17	31	64	118	205	341	549	872	1406
280	10	22	48	48	92	164	280	460	744	1220

$P(c, n, \rho) = P_{\tau} \{ t_1^2 > c^2, t_2^2 > c^2 \}$ の表(IV) $c=3.5$

n	$ \rho $	0.0	0.1	0.2	0.3	0.4	0.5	0.6	0.7	0.8	0.9	0.95
10	0.000292	0.000324	0.000416	0.000564	0.000766	0.001020	0.001347	0.001770	0.002347	0.003210	0.003880	0.003880
12	0.158	0.178	0.236	0.337	0.477	0.000659	0.000905	0.000921	0.1232	0.2387	0.2923	0.2923
14	0.00095	0.109	0.151	0.223	0.320	0.466	0.659	0.000921	0.1294	0.1869	0.2324	0.2324
16	0.62	0.00072	0.104	0.158	0.239	0.350	0.508	0.725	0.1040	0.1531	0.1923	0.1923
18	0.43	0.51	0.076	0.119	0.184	0.275	0.408	0.592	0.000865	0.1295	0.1639	0.1639
20	0.000032	0.000038	0.000057	0.000093	0.000147	0.000224	0.000339	0.000500	0.000740	0.001123	0.001432	0.001432
22	0.24	0.29	0.46	0.75	1.21	1.88	2.88	4.32	6.46	0.000993	1.273	1.273
24	0.19	0.23	0.37	0.63	1.02	1.60	2.51	3.80	5.74	8.92	11.50	11.50
26	0.15	0.19	0.31	0.53	0.88	1.40	2.21	3.39	5.18	8.11	10.51	10.51
28	0.12	0.16	0.27	0.46	0.77	1.24	1.99	3.06	4.72	7.46	0.000971	0.000971
30	0.000010	0.000013	0.000023	0.000040	0.000069	0.000111	0.000180	0.000280	0.000435	0.000692	0.000904	0.000904
32	0.0000084	0.10	0.20	0.36	0.62	1.01	1.65	2.58	4.04	6.47	8.49	8.49
34	0.000009	0.72	0.00009	0.18	0.32	0.56	0.92	1.52	2.40	3.78	6.09	8.01
36	0.63	0.8	0.16	0.29	0.51	0.85	1.41	2.24	3.55	5.77	7.60	7.60
38	0.56	0.7	0.15	0.27	0.47	0.79	1.32	2.11	3.36	5.48	7.25	7.25
40	0.0000050	0.000006	0.000013	0.000025	0.000044	0.000073	0.000124	0.000200	0.000319	0.000524	0.000694	0.000694
42	0.46	0.6	0.12	0.23	0.41	0.69	1.18	1.90	3.05	5.02	6.67	6.67
44	0.43	0.5	0.11	0.21	0.39	0.65	1.12	1.81	2.92	4.83	6.42	6.42
46	0.40	0.5	0.11	0.20	0.37	0.62	1.06	1.73	2.80	4.65	6.21	6.21
48	0.37	0.4	0.10	0.19	0.35	0.59	1.02	1.66	2.70	4.50	6.01	6.01
50	0.0000034	0.000004	0.000009	0.000018	0.000033	0.000056	0.000098	0.000160	0.000261	0.000436	0.000584	0.000584
55	0.30	0.4	0.8	1.6	3.0	50	89	147	242	407	547	547
60	0.26	0.3	0.7	1.4	2.7	46	82	137	226	384	517	517
65	0.23	0.3	0.7	1.3	2.5	42	77	128	214	364	493	493
70	0.20	0.3	0.6	1.2	2.3	40	72	121	204	349	472	472
75	0.0000018	0.000002	0.000006	0.000011	0.000022	0.000037	0.000069	0.000116	0.000195	0.000336	0.000455	0.000455
80	0.16	0.2	0.5	1.1	2.0	3.5	65	111	187	324	441	441
85	0.15	0.2	0.5	1.0	1.9	3.4	63	107	181	314	428	428
90	0.13	0.2	0.5	1.0	1.8	3.2	61	103	176	305	417	417
100	0.11	0.2	0.4	0.9	1.7	3.0	57	0.00097	166	291	398	398
120	0.000009	0.000002	0.000004	0.000008	0.000015	0.000027	0.000052	0.000089	0.000153	0.000270	0.000372	0.000372
150	0.7	1	3	7	13	24	46	81	141	251	346	346
200	0.6	1	3	6	12	20	42	73	129	232	322	322
∞	0.4	1	2	4	8	14	30	54	98	182	256	256

$P(c, n, \rho) = P_r\{t_1^2 > c^2, t_2^2 > c^2\}$ の表

(v) $c=4.0$

$P(c, n, \rho) = P_r\{t_1^2 > c^2, t_2^2 < c^2\}$ の表

(vi) $c=4.5$

参考文献

- [1] DUNN, O.J. (1958). Estimation of the means of dependent variables. *Ann. Math. Statist.* **29**, 1095-1111.
- [2] DUNN, O.J. (1961). Multiple comparisons among means. *Jour. Amer. Statist. Assn.* **56**, 52-64.
- [3] DUNNETT, C.W. and SOBEL, M. (1954). A bivariate generalization of Student's *t*-distribution, with tables for certain special cases. *Biometrika*, **41**, 153-169.
- [4] HARTLEY, H.O. (1950). The use of range in analysis of variance. *Biometrika*, **37**, 271-280.
- [5] LEHMANN, E. L. (1959). *Testing Statistical Hypotheses*. John Wiley and Sons, New York.
- [6] PLACKETT, R. L. (1960). *Principles of Regression Analysis*. Oxford University Press, London.
- [7] ROY, S. N. and BOSE, R. C. (1953). Simultaneous confidence interval estimation. *Ann. Math. Statist.* **24**, 513-536.
- [8] SCHEEFÉ, (1953). A method for judging all contrasts in the analysis of variance. *Biometrika*, **40**, 87-104.
- [9] 塩谷, 吉田, 川上, 野白, 川島, 佐藤. 味覚判断に関する統計的研究. (未発表)
- [10] TIPPETT, L. H. C. (1952). *The Methods of Statistics*, (4 th ed.). Williams and Norgate Ltd, London.
- [11] TUKEY, J. W. (1952). 未発表論文. [7] に紹介.
- [12] WILKS, S.S. (1943). *Mathematical Statistics*. Princeton University Press, Princeton.

統計数理研究所